

**ИССЛЕДОВАНИЕ ОДНОМЕРНОГО ТЕЧЕНИЯ ГАЗА В КАНАЛЕ ПЛАЗМОТРОНА**

А. М. ГОНОПОЛЬСКИЙ, Ф. А. СЛОБОДКИНА

(Москва)

Рассматривается влияние профилирования канала и вдува холодного рабочего газа через боковые стенки на стационарное течение газа вдоль положительного столба дуги постоянного тока. Проводится анализ условий перехода через скорость звука и приводятся результаты численных расчетов.

1. Рассмотрим в одномерном приближении стационарное течение идеального электропроводного газа в канале заданного переменного сечения  $F(x)$ . Энергия к газу подводится равномерно по сечению за счет джоулевой диссипации в электрической дуге постоянного тока, направление которого совпадает с направлением скорости течения и направлением оси  $x$ . Приэлектродные области дуги находятся вне рассматриваемого канала. Через стенки канала производится вдув более холодного газа с целью тепловой защиты стенок, а также для увеличения градиента напряжения вдоль дуги [1, 2]. Вдув холодного газа осуществляется из ресивера, окружающего канал. Полное давление  $p_1$  и теплосодержание газа  $i_1$  в ресивере считаются постоянными.

Запишем уравнения неразрывности, движения и энергии для одномерного течения газа в канале с проницаемыми стенками, учитывая джоулеву диссипацию

$$(1.1) \quad \begin{aligned} L_1 &\equiv (\rho u F)' - g = 0, & L_2 &\equiv \rho u u' + p' + u g / F = 0 \\ L_3 &\equiv h' + u u' + \frac{g}{\rho u F} \left( h + \frac{u^2}{2} - i_1 \right) - \frac{\eta I^2}{\rho u F^2 \sigma} = 0 \end{aligned}$$

$$\begin{aligned} g &= g(\rho, h, p_1, i_1, f), & \sigma &= (h/h_*)^\alpha, & \alpha &= \text{const} \\ p &= \rho h^\beta, & \beta &= \text{const}, & 0 < \beta &\leq 1, & \eta &= I_m^{\circ 2} l^{\circ} \sqrt{\rho_a^{\circ}} / \sigma_*^{\circ} p_a^{\circ} F_a^{\circ} \sqrt{p_a^{\circ}} \end{aligned}$$

Здесь  $\rho, u, p, h$  – плотность, скорость, давление и энтальпия газа соответственно;  $g$  – расход газа, вдуваемого через стенки на единице длины канала ( $g$  – заданная функция своих аргументов);  $f$  – геометрический параметр вдува (при  $f=0$  имеем также  $g=0$ );  $\sigma$  – электропроводность среды; зависимость  $\sigma(h)$  взята из [3];  $I$  – сила тока ( $I = \text{const}$ );  $\eta$  – безразмерный параметр. Штрихом обозначена производная по  $x$ .

Зависимость  $p(\rho, h)$  получена аппроксимацией уравнения состояния воздуха при температуре  $T^{\circ}$  от 1000 до 12 000° К и давлении от 0.01 до 1000 *атм* [4]. Система (1.1) записана относительно безразмерных переменных. Размерные величины отнесены к соответствующим величинам при  $T^{\circ} = 1000^{\circ}$  К и  $p_a^{\circ} = 1$  *атм*, поэтому  $h \geq 1$  везде в канале,  $F_a^{\circ}$  – ширина канала на входе,  $l^{\circ}$  – длина канала,  $I_m^{\circ}$  – максимально допустимая сила тока,  $\sigma_*^{\circ} = 1$  *ом·см*.

2. Для качественного анализа полученной системы уравнений (1.1), а также для проведения численных расчетов запишем дифференциальные уравнения в нормальной форме

$$(2.1) \quad \begin{aligned} u' &= \frac{u}{1-M^2} \left\{ \frac{\beta \eta I^2}{h \sigma \rho u F^2} + \frac{g}{\rho u F} \left[ 1 + \frac{u^2}{h^\beta} - \frac{\beta(h+u^2/2-i_1)}{h} \right] - \frac{F'}{F} \right\} \\ h' &= \frac{1}{1-M^2} \left\{ \left( 1 - \frac{u^2}{h^\beta} \right) \frac{\eta I^2}{\sigma \rho u F^2} - \frac{g}{\rho u F} \left[ \left( 1 - \frac{u^2}{h^\beta} \right) \left( h + \frac{u^2}{2} - i_1 \right) + \right. \right. \\ &\quad \left. \left. + u^2 + \frac{u^4}{h^\beta} \right] + \frac{u^2 F'}{F} \right\} \\ \rho' &= \frac{\rho}{1-M^2} \left\{ - \frac{\beta \eta I^2}{h \sigma \rho u F^2} - \frac{g}{\rho u F} \left[ \frac{2u^2}{h^\beta} - \frac{\beta u^2}{h} - \frac{\beta(h+u^2/2-i_1)}{h} \right] + M^2 \frac{F'}{F} \right\} \\ M^2 &= u^2 \left( \frac{1}{h^\beta} - \frac{\beta}{h} \right) \end{aligned}$$

Из (2.1) видно, что электрический подогрев разгоняет дозвуковой поток. Энтальпия потока при малых скоростях растет, а при  $M$ , близких к единице, убывает. Вдув

газа ( $g > 0$ ) приводит к дополнительному разгону газа, уменьшению роста энтальпии и падению плотности. При сверхзвуковом течении в канале джоулева диссипация уменьшает скорость, увеличивает энтальпию и плотность течения. Вдув газа тормозит сверхзвуковое течение.

Течения с непрерывным переходом через скорость звука возможны, если одновременно с обращением  $M$  в единицу, обратится в нуль числитель правой части выражения для  $u'$  (см. (2.1)), что приведет к обращению в нуль числителей правой части выражений для  $h'$  и  $\rho'$ . Условие перехода через скорость звука имеет вид [5]

$$(2.2) \quad 1 - M^2 = 0$$

$$(2.3) \quad \frac{\beta \eta I^2}{h \sigma \rho u F^2} + \frac{g}{\rho u F} \left[ 1 + \frac{u^2}{h^2} - \frac{\beta}{h} \left( h + \frac{u^2}{2} - i_1 \right) \right] - \frac{F'}{F} = 0$$

Учитывая, что при вдуве газа ( $g > 0$ ) оба первых слагаемых в равенстве (2.3) положительны, для обращения левой части равенства (2.3) в нуль необходимо, чтобы канал был расширяющимся, т. е.  $F' > 0$ . В сужающемся или прямом канале при вдуве газа и при электроподогреве непрерывный переход через скорость звука невозможен.

Для определения характера перехода через скорость звука и устойчивости такого режима течения [5] необходимо выяснить тип особой точки системы дифференциальных уравнений (2.1). Выпишем выражение для  $(M^2)'$ , положив для простоты  $g = 0$

$$(2.4) \quad (M^2)' = \frac{2M^2 \psi (\beta k - \sigma h F') + \beta k u^2 \varphi (1 - M^2)}{\sigma h F (1 - M^2)}$$

$$\varphi = \frac{1}{h} - \frac{1}{h^2} < 0 \quad \text{при } h > 1, \quad \psi = 1 - \frac{\beta u^4 \varphi}{2 h M^2}, \quad k = \frac{\eta I^2}{\rho u F} = \text{const}$$

Положение особой точки определяется двумя равенствами

$$(2.5) \quad M^2 = 1, \quad \beta k / \sigma h = F'$$

Произведем линеаризацию числителя и знаменателя правой части выражения для  $(M^2)'$

$$(2.6) \quad (M')^2 - A M' - B = 0, \quad M'_{1,2} = 1/2 A \pm \sqrt{1/4 A^2 + B}$$

$$A = \frac{\beta k u^2}{2 \sigma h F} \left( \varphi - \frac{\sigma + \sigma_h' h}{\sigma h} \right) < 0 \quad \text{при } \sigma_h' > 0$$

( $\sigma_h'$  — производная от  $\sigma$  по  $h$ )

$$B = \frac{\beta k^2 (\sigma + \sigma_h' h)}{2 \sigma (\sigma h F)^2} + \frac{\psi F''}{2 F} > 0 \quad \text{при } F'' > 0$$

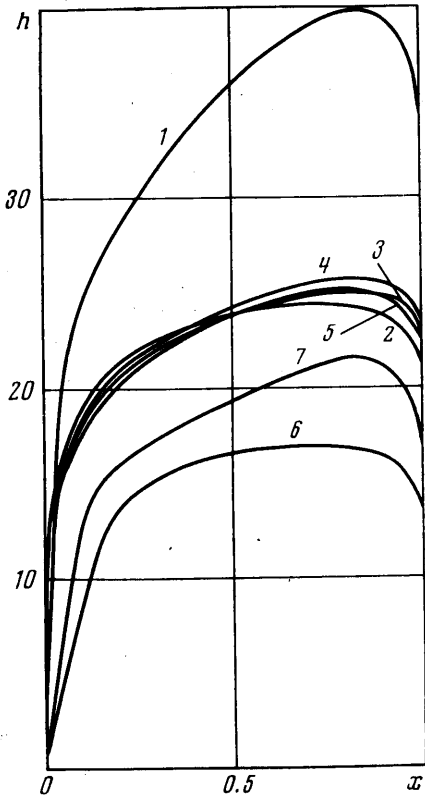
Из (2.6) следует, что при  $B > 0$ , что, в частности, осуществляется при  $F'' > 0$ , особая точка оказывается седлом, т. е. через такую особую точку проходят две интегральные кривые. Одна из них ( $M' > 0$ ) соответствует решению с переходом от дозвуковой скорости к сверхзвуковой, а другая ( $M' < 0$ ) — решению с переходом от сверхзвуковой скорости к дозвуковой. Заметим, что оба эти решения устойчивы [5], так как  $A < 0$  при  $h > 1$  и  $\sigma_h' > 0$ . Если  $F'' < 0$  (при  $F' > 0$ ), то особенность остается седлом до тех пор, пока  $B > 0$ , т. е. при  $F'' > -\beta k^2 (\sigma + \sigma_h' h) / (\sigma h)^2 \sigma \psi F \equiv F_k''$ . При  $F'' < F_k''$ , но  $1/4 A^2 + B > 0$ , особая точка представляет собой узел с отрицательными собственными направлениями. Вдоль интегральных кривых, проходящих через такой узел, осуществляются решения с переходом через скорость звука от  $M > 1$  к  $M < 1$ , причем все эти решения устойчивы [5].

Особенность типа фокуса будет появляться в (2.1) при  $F'' < -A^2 F / 2 \psi + F_k'' A^2 / 4 + B > 0$ . В окрестности такой особенности течения с непрерывным переходом через скорость звука невозможны. Возможны лишь полностью дозвуковые, сверхзвуковые или течения с ударными волнами. Постановка граничных условий для различных режимов течений дана в [6].

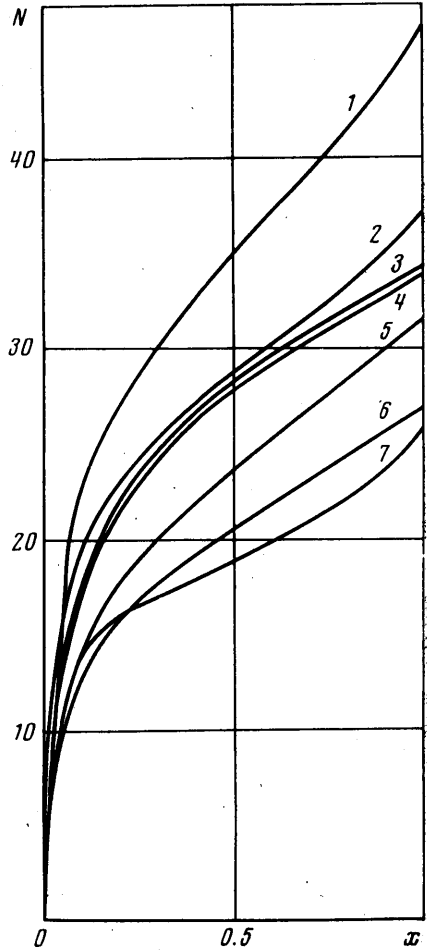
3. Расчеты проводились для дозвуковых течений со звуковым истечением, т. е. решалась система уравнений (2.1) при следующих граничных условиях:  $h = h_a$ ,  $\rho = \rho_a$  при  $x = 0$  и  $M_b^2 = 1$  при  $x = 1$ . На фиг. 1, 2 приводятся результаты расчетов при  $\alpha = 4$ ,  $\beta = 5/6$ . На фиг. 1 показано влияние вдува, критерия  $\eta$  и формы канала на изменение статической энтальпии потока вдоль канала. На фиг. 2 представлено распределение удельной мощности по длине канала для различных значений критерия  $\eta$ , параметра вдува и формы канала. Кривые соответствуют следующим значениям параметров:

1 -  $\eta=10$ ,  $h_a=1$ ,  $f(x)=0$ ,  $F_a/F_b=1/0.25$ ; 2 -  $\eta=10$ ,  $h_a=1$ ,  $f(x)=0.1$ ,  $F_a/F_b=1/1$ ; 3 -  $\eta=10$ ,  $h_a=1$ ,  $f(x)=0$ ,  $F_a/F_b=1/1.1$ ; 4 -  $\eta=10$ ,  $h_a=1$ ,  $f(x)=0$ ,  $F_a/F_b=1/1$ ; 5 -  $\eta=10$ ,  $h_a=6$ ,  $f(x)=0.1$ ,  $F_a/F_b=1/1$ ; 6 -  $\eta=2$ ,  $h_a=6$ ,  $f(x)=0.1$ ,  $F_a/F_b=1/1$ ; 7 -  $\eta=10$ ,  $h_a=1$ ,  $f(x)=0$ ,  $F_a/F_b=4/1$  ( $F_a/F_b$  - отношение площадей на входе и выходе канала).

Из фиг. 1 следует, что статическая энтальпия в канале растет, достигая некоторого максимального значения, и затем при  $M$ , близких к единице, убывает, что соответствует предварительным качественным выводам.



Фиг. 1



Фиг. 2

Сопоставление зависимостей  $h(x)$  для течений со вдувом (кривая 2) и без него (кривая 4) показывает, что максимальные значения  $h(x)$  в канале со вдувом ниже, а следовательно, удельная мощность выше

$$N = \frac{1}{\rho u F} \int_0^1 \frac{\eta I^2}{\sigma F} dx$$

Это подтверждается ходом зависимостей  $N(x)$ , приведенных на фиг. 2. Сравнение величин  $N(x)$  на фиг. 2 для каналов различной геометрии при одинаковых условиях на входе в канал (см. кривые 1, 3, 4, 7) показывает, что при интенсивном обжиге потока стенками канала (кривая 1) можно, например, при вдвое меньшей длине получить те же значения  $N$ , что и в цилиндрическом канале (кривая 4). Из анализа кривых 2 и 5 видно, что уменьшение энтальпии газа на входе в канал также приводит к увеличению мощности.

Поступила 26 X 1973

## ЛИТЕРАТУРА

1. *Watson Velvin R.* Comparison of detailed numerical, solutions with simplified theories for the characteristics of the constricted-arc plasma generator. Proc. 1965 Heat Transfer and Fluid Mech. Inst. Los Angeles, Calif. Stanford Calif., Univ. Press., 1965.
2. *Залесский А. М.* Электрическая дуга отключения. М.—Л., Госэнергоиздат, 1963.
3. *Вагажин А. Б.* Развитие магнитогидродинамического пограничного слоя при внезапном возникновении движения или внезапном торможении сверхзвукового потока на границе полупространства. ПМТФ, 1965, № 2.
4. *Голубев В. А.* Исследование турбулентной струи высокой температуры. В сб. «Исследование турбулентных струй воздуха, плазмы и реального газа». М., «Машиностроение», 1967.
5. *Куликовский А. Г., Слободкина Ф. А.* Об устойчивости произвольных стационарных течений в окрестности точек перехода через скорость звука. ПММ, 1967, т. 31, вып. 4.
6. *Слободкина Ф. А.* Оптимизация одномерных течений с непрерывным переходом через нуль одной из характеристических скоростей. ПММ, 1968, т. 32, вып. 3.

**О РЕЦЕНЗИИ В. П. МЯСНИКОВА НА МОНОГРАФИЮ П. М. ОГИБАЛОВА,  
А. Х. МИРЗАДЖАНЗАДЕ «НЕСТАЦИОНАРНЫЕ ДВИЖЕНИЯ  
ВЯЗКОПЛАСТИЧНЫХ СРЕД» ИЗД. МГУ, 1970 г., 26 П. Л.,  
ТИР. 3500 ЭКЗ.**

Не вступая в пререкания с рецензентом, который допускает безапелляционные негативные утверждения, вольно используя те или иные места из нашей книги и не обращая внимания на необъективность и спекулятивные приемы типа «подробный разбор всех ошибок занял бы объем, соизмеримый с объемом книги», мы, оставаясь строго в рамках научной дискуссии, ограничимся лишь некоторыми фактическими справками и разъяснениями по поводу тех замечаний, которые содержатся в рецензии, ибо именно они, видимо, по мнению рецензента, являются наиболее яркими и показательными.

В п. 1 рецензент пишет, что «монография не обладает четкой научной направленностью. Значительная ее часть посвящена изучению механически неестественных задач, выбранных лишь потому, что соответствующие им крайние задачи для уравнения теплопроводности с помощью автомодельной замены переменных можно свести к обыкновенным дифференциальным уравнениям. Связи между этими задачами и приложениями нет». Рецензент, в частности, подвергает сомнению целесообразность включения в книгу содержание тех глав, в которых изложены точные решения некоторых автомодельных задач о нестационарных движениях вязкопластичных сред. По этому поводу отметим следующее.

1. В книге наряду с автомодельными задачами и их решениями приведен ряд других точных решений и все они имеют самое непосредственное отношение к теме книги — нестационарные движения вязкопластичных сред.

2. Математические задачи, возникающие при исследовании нестационарных движений нелинейных сред, сложны и потому наличие точных решений представляет интерес даже вне связи с непосредственными приложениями.

3. Включенный в книгу материал, например, гл. III и VII, дает технику построения автомодельных решений, технику решения задач механики обратными методами.

4. Наличие точных решений дает возможность эффективно оценивать различные приближенные решения. И об этом ясно написано в книге. Так, например, на стр. 134 книги читаем: «Приводимое ниже автомодельное решение частной задачи о вращении круглого цилиндра исчезающе малого радиуса в безграничной среде представляет некоторый самостоятельный интерес и, кроме того, может быть использовано как пример для проверки правильности различных приближенных способов, в частности способа Шведа, способа Слезкина — Тарга и др.»

Отметим также, что, как известно, общая постановка задачи о стационарном движении вязкопластичных систем определяется принятой моделью, которых можно